양전원 듀얼 인버터의 동적 과변조 기법

김예진*, 김태형*, 최동호*, 이준희**, 이준석* 단국대학교*. 한국철도기술연구워**

Dynamic Overmodulation Scheme of Dual Inverter with Isolated DC bus

Ye-Jin Kim*, Tae-Hyeong Kim*, DongHo Choi*, June-Hee Lee**, June-Seok Lee* Dankook University*. Korea Railroad Research Institute**

ABSTRACT

본 논문은 양전원 듀얼 인버터에서의 동적 과변조 기법을 제안한다. 양전원 듀얼 인버터의 과변조 영역에 서는 지령 전압만큼의 전압이 출력되지 않아 동특성이 떨어진다. 따라서, 본 논문에서는 듀얼 인버터에 최소거 리 과변조 기법을 적용하여 과변조 영역에서의 동특성을 향상시키며, 듀얼 인버터의 최대 전압까지 출력함으로써 전압 이용률을 최대화한다. 또한 제안하는 동적 과변조 기법에서는 양전원 듀얼 인버터를 구성하는 한 쪽 인버 터를 6-step 제어함으로써 스위칭 손실을 저감한다. 본 논문의 타당성은 시뮬레이션을 통해 검증한다.

1. 서 론

개방 권선형 영구자석 전동기(Open Ended Winding PMSM, OEW-PMSM) 구동을 위한 양전원 듀얼 인버터는 그림 1과 같은 회로로 구성된다. 해당 토폴로지는 2개의 인버터가 결합되어 싱글 인버터보다 높은 전압을 출력할 수 있지만, 스위칭 손실 및 부피가 증가한다.

듀얼 인버터의 동특성을 향상시키며 최대 전압을 출력 하기 위해서는 과변조 기법이 적용되어야 한다. 이를 적 용하면 전압 합성 범위를 벗어난 기존 지령 전압 벡터를 새로운 지령 전압 벡터로 재정의해야 하며 각 인버터 출 력 전압 벡터는 지령 전압 벡터에 따라 유연하게 결정할 수 있다.

본 논문에서는 과변조 영역에서 최소거리 과변조 기법 을 이용하여 듀얼 인버터의 재정의된 지령 전압 벡터를 출력하고, 6-step 제어를 위한 1차측 인버터의 전압 벡 터와 보상을 위한 2차측 인버터의 전압 벡터를 결정한다. 이를 통해 과변조 영역에서 듀얼 인버터 제어의 동특성 을 확보하고 스위칭 손실을 저감한다.

2. 본 론

2.1 양전원 듀얼 인버터의 최소거리 과변조 기법

양전원 듀얼 인버터의 전압 벡터도는 그림 2와 같이 나타낼 수 있다. 듀얼 인버터의 지령 전압 벡터 V^* 가 선 형변조 영역을 벗어나는 경우 과변조 기법이 적용되어야

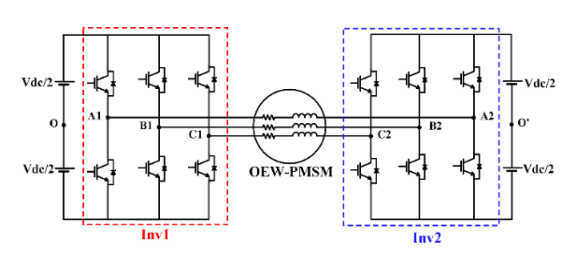


그림1 양전원 듀얼 인버터 토폴로지 Fig.1 Topology of dual inverter with isolated DC-bus

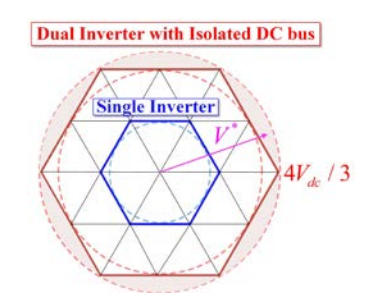


그림2 양전원 듀얼 인버터의 전압 벡터도

Fig.2 Voltage vector diagram of dual inverter with isolated DC-bus

하며 본 논문에서는 최소거리 과변조 기법을 이용한다.

그림 3은 그림 2를 12개의 섹터로 구분할 때, 섹터 1의 수정 전, 후 지령 전압 벡터를 나타낸다. 모든 섹터에 대해 수정된 지령 전압 벡터 $V_{mag,OM}$ 의 크기 $|V_{mag,OM}|$ 과 위상 $\theta_{OM,New}$ 를 일반화하면 식 (1), (2)와

$$\theta_{OM,New} = \begin{cases} \theta_{OM,2N-1} = \theta_{OM} - \frac{\pi}{3} \cdot \left(\frac{2N-1}{2} - 0.5\right) \\ \theta_{OM,2N} = \theta_{OM} - \frac{\pi}{3} \cdot \left(\frac{2N}{2} - 1\right) \end{cases}$$

$$\left| V_{mag,OM} \right| = \frac{2V_{dc} / \sqrt{3}}{\cos\left(\frac{\pi}{6} - \theta_{OM,New}\right)}$$
(1)

$$\left| V_{mag,OM} \right| = \frac{2V_{dc} / \sqrt{3}}{\cos\left(\frac{\pi}{6} - \theta_{OM,New}\right)}$$
 (2)

여기서 N은 섹터, V_{dc} 는 직류단 전압을 의미한다. 또한 θ_{OM} 은 [1]과 동일한 방식으로 각 섹터에서 도출된다. 과 변조 기법 적용 구간은 전압 합성 범위를 벗어난 구간으 로 V^* 의 위상각 θ_v 로 판단할 수 있다. V^* 와 전압 벡터도의 육각형 빗변이 만날 때 이루는 각은 식 (3)과 같으며 섹 터 1, 2에서의 과변조 적용 구간은 식 (4)와 같다.

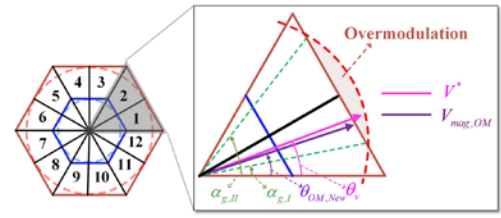


그림3 괴변조 기법의 구현

Fig.3 Implementation of overmodulation scheme

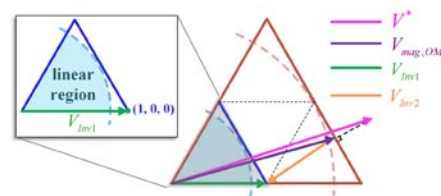


그림4 제안하는 방법의 지령 전압 벡터도

Fig.4 Reference voltage vector diagram of proposed method

$$\alpha_{g,I} = \frac{\pi}{6} - \cos^{-1}\left(\frac{2V_{dc}}{\sqrt{3}} \times \frac{1}{\left|V^*\right|}\right), \ \alpha_{g,II} = \frac{\pi}{6} + \cos^{-1}\left(\frac{2V_{dc}}{\sqrt{3}} \times \frac{1}{\left|V^*\right|}\right)$$
(3)
$$\alpha_{g,I} \le \theta_{v} < \alpha_{g,II}$$
(4)

여기서 $a_{g,I}$ 은 섹터 1에서의 기준각, $a_{g,II}$ 는 섹터 2에서의 기준각을 의미한다.

2.2 스위칭 손실 저감을 위한 전압 벡터 결정

최소거리 과변조 기법이 적용됨에 따라 변경된 $V_{mag,OM}$ 을 생성하기 위해서는 1차측과 2차측 인버터의 전압 벡터를 결정해야 하며 식 (5)와 같다 $^{[2]}$.

$$V_{mag,OM} = V_{Inv1} - V_{Inv2} \tag{5}$$

여기서 V_{Inv1} 은 1차측 인버터의 지령 전압 벡터, V_{Inv2} 는 2차측 인버터의 지령 전압 벡터를 의미한다.

이 때 1차측 인버터는 6-step 제어를 위한 V_{InvI} 을 생성하고 2차측 인버터는 식 (5)를 만족하는 조건 내에서 $V_{mag,OM}$ 를 출력하기 위한 보상 성분의 V_{Inv2} 를 생성함으로 써 스위칭 손실을 저감할 수 있다.

그림 4는 제안하는 방법이 적용된 각 인버터의 전압 벡터를 나타낸다. V^* 가 벡터도의 육각형 외부 영역에 위치하게 되면 최소거리 과변조 기법에 의해 $V_{mag,OM}$ 으로 변경된다. 또한 V_{InvI} 은 6-step 제어를 위해 1개의 유효전압 벡터로 구성되며 V_{Inv2} 는 $V_{mag,OM}$ 과 V_{InvI} 의 차이를 보상하기 위한 벡터로 구성된다.

3. 시뮬레이션 결과

제안하는 양전원 듀얼 인버터의 과변조 기법 구현은 PSIM 프로그램을 통해 검증하였으며 시뮬레이션에 사용되는 OEW-PMSM의 파라미터와 조건은 표 1과 같다. 그림 5(a)는 최소거리 과변조 기법을 적용했을 때의 $V_{mag,OM}$ 전압 벡터도를 나타내며 과변조 기법 적용 시 전압 벡터가 육각형 내부로 제한되는 것을 알 수 있다. 또한 그림 5(b)를 통해 V_{InvI} 이 클램핑 될 때 과변조 영역에서 V_{Inv2} 는 $V_{mag,OM}$ 과 V_{InvI} 의 전압 벡터의 차이만큼 출력됨을 확인할 수 있다.

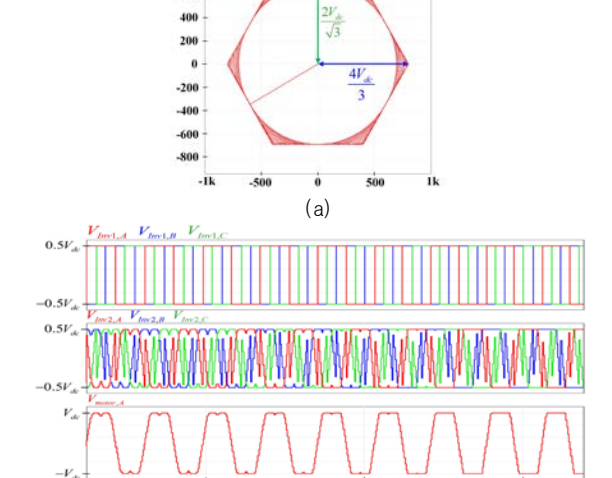
표1 시뮬레이션에 사용되는 OEN-PMSM 파라미터 및 조건

600

Table1 Parameters and conditions of OEW-PMSM for simulation

Stator Resistance (Rs)	0.152[Ω]	Switching Frequency (f _{sw})	10[kHz]
D-axis Inductance (L _d)	3.871[mH]	Control Frequency (f _{con})	10[kHz]
Q-axis Inductance (L _q)	9.785[mH]	No. of poles (pole)	6

Vector diagram of V_{max,OM}



(b) 그림5 시뮬레이션 결과. (a) 수정된 지령 전압의 벡터도. (b) 과변조 영 역에서의 1, 2차측 인버터의 지령 전압.

Fig.5 Simulation results. (a) Vector diagram of modified reference voltage. (b) Reference voltage of primary and secondary inverter in overmodulation region.

4. 결 론

본 논문은 스위칭 손실을 저감하며 양전원 듀얼 인버터의 최소거리 과변조 기법을 구현하는 방법을 제안하였다. 제안하는 기법을 통해 듀얼 인버터 제어 성능을 항상시키고 1차측 인버터의 6-step 제어를 통해 스위칭손실을 저감할 수 있다. 이 방법의 타당성은 시뮬레이션을 통해 검증하였다.

이 논문은 국토교통부/국토교통과학기술진흥지원 연구비 지원(RS-2022-00144203)에 의하여 수행되었음

참 고 문 헌

- [1] Ahmet M. Hava, Seung-Ki Sul, Russel J. Kerkman and Thomas A. Lipo, "Dynamic Overmodulation Characteristics of Triangle Intersection PWM Methods", *IEEE Trans, Ind. Appl.*, Vol. 35, No. 4, pp. 898-899, 1999, Jul./Aug.
- [2] Tae-Hyeong Kim, June-Hee Lee, Bum-Ryeol Yoon and June-Seok Lee, "Clamping Modulation Technique for Balancing Power Losses of Dual Inverter With Isolated DC bus", IEEE Access, pp. 41870-41871, 2023, Apr.